

クロスモーダル学習による時間情報を考慮した 楽器音からの演奏動画生成

中川 智愛[†] 井上 勝文[‡] 吉岡 理文[‡]

大阪府立大学 大学院工学研究科[†] 大阪公立大学 大学院情報学研究科[‡]

1. はじめに

音楽情報から、その音楽情報に適した画像を生成する研究の中で、楽器音から楽器の奏者画像を生成するタスクがある。従来研究では時間情報を含む音楽情報より1枚の画像を生成している[1][2][3]。しかし、1枚の画像には音楽情報の持つ時間情報までは考慮されていないという問題がある。そこで本研究では、生成画像にも時間情報を持たせるために、音楽情報から演奏動画を生成するタスクに拡張する。具体的には、単純に短時間音楽情報から動画フレームを順次生成するのではなく、入力する音楽情報に時間情報ラベルを埋め込みつつ1度に複数枚の画像を生成する。この生成された画像の前後関係を考慮することで、奏者の動作が滑らかに変化する動画フレームを生成する手法を提案する。

2. 従来手法

従来研究で提案されているCAR-GAN[1]を図1に示す。CAR-GANは2段階の学習によって音楽情報から演奏画像を生成する。ここで、 A, I, I', I'' はそれぞれ T 秒から $T + 0.5$ 秒のGT (Ground Truth) のメルスペクトログラム画像と T 秒目のGTのフレーム画像、1段階目の生成画像、2段階目の生成画像である。また、 G_1, G_2 の構造は同一で、重みは共有されている。さらに、 L_a, L_i, L_r はそれぞれ楽器の種類を表すクラスラベル、生成画像の予測クラスラベル、そしてこれらの差分から得られる残差クラスラベルである。まず、Generator G_1 に A と L_a を入力し、 I' を得る。次にこの I' をClassifier C に入力することで L_i を求める。そして、 L_a との差分である L_r と I' を G_2 に入力し、最終的な出力となる I'' を得る。学習時にはDiscriminator D を用いて敵対的学習を行う。

3. 提案手法

本研究では T 秒から $T + 0.5$ 秒のメルスペクトロ

“Cross-modal Learning-based Musical Performance Movie Generation from Instrumental Sound by Considering Time Consistency”

[†]Graduate School of Engineering, Osaka Prefecture University

[‡]Graduate School of Informatics, Osaka Metropolitan University

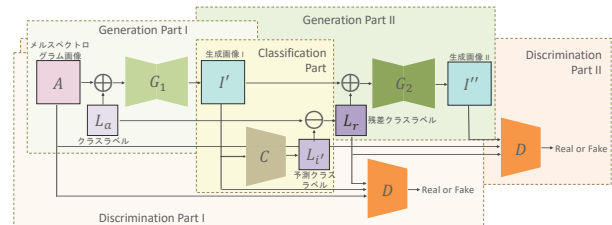


図1 CAR-GAN[1]のネットワーク図

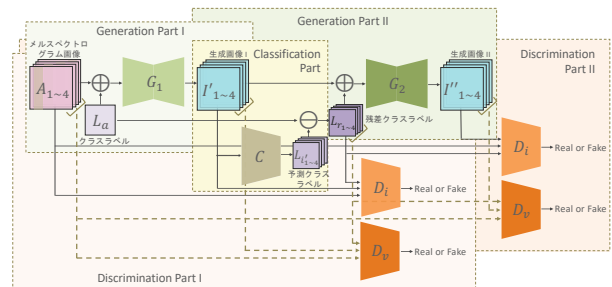


図2 提案手法のネットワーク図

グラム画像から $T + 0.1$ 秒から $T + 0.4$ 秒目までの4枚の画像を同時に生成する。図2はCAR-GANをベースとした提案手法のネットワーク図である。CAR-GANと異なる点は2つあり、1つ目は入力データである A に時間情報ラベルの埋め込み、2つ目はDiscriminator D_v の追加である。ただし、 D_i は図1における D と同一のネットワークである。

1つ目の相違点の A に対する処理については2種類の方法があり、図3に1秒から1.5秒の A から1.1秒目のフレーム画像を生成する場合の例を示す。図3(a)のTSE (Time Segment Emphasis) では、 $T + 0.1$ 秒目のフレーム画像を生成する場合に、 A のRGBの3チャンネルに対して $T + 0.05$ 秒から $T + 0.15$ 秒の区間の値をそれぞれ2倍にしている。一方、図3(b)のTSL (Time Segment Label) ではTSEと同区間を1、それ以外の区間を0で埋めた層を追加し、4チャンネルのデータとする。これらの処理を行なった A_{1-4} をそれぞれ G_1 に入力し、 I'_{1-4} を得る。

次に、2つ目の相違点である生成画像の時系列判定を行う D_v について説明する。4枚の生成画像に対して、時系列として正しい順に入力されたものに対してReal、シャッフルした並びのものに対してFakeと識別を行うことで、奏者の動作における前後関係の学習を行う。

表 1 定量評価

		Sax	Flute	Bassoon	Horn	Clarinet	Cello	Trumpet	Oboe	Trombone	Violin	Double Bass	Tuba	Viola
Ours (TSE)	FID	271.004	193.625	185.607	217.054	113.797	48.364	164.341	324.280	130.690	171.442	76.528	92.570	149.816
	LPIPS	0.227	0.298	0.351	0.197	0.443	0.170	0.139	0.161	0.223	0.273	0.362	0.207	0.172
Ours (TSL)	FID	271.721	204.117	176.342	268.475	264.480	42.450	110.192	364.821	123.833	147.829	97.253	92.539	163.219
	LPIPS	0.236	0.307	0.354	0.216	0.446	0.159	0.136	0.155	0.225	0.220	0.188	0.188	0.175
CAR-GAN	FID	315.263	227.307	186.226	223.038	286.463	45.717	203.585	409.218	134.553	236.821	130.351	94.713	242.119
	LPIPS	0.272	0.215	0.225	0.222	0.326	0.141	0.138	0.199	0.185	0.164	0.242	0.215	0.143

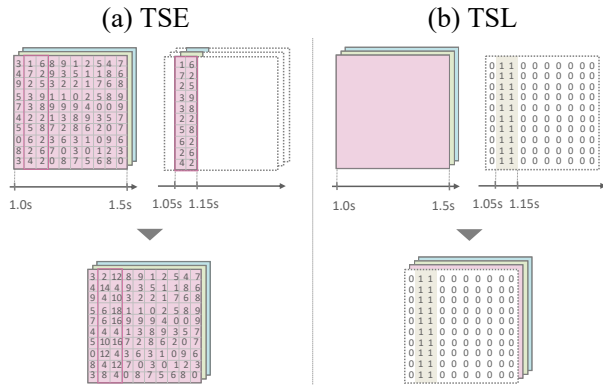


図 3 入力データの処理例

4. 実験

4.1 実験条件

実験には学習とテストで奏者が一致しているデータを使用し、13 種類の楽器クラスを持つ Sub-URMP データセットのうち 52749 枚のメルスペクトログラム画像とフレーム画像を用いた。メルスペクトログラムはサンプリング周波数が 44.1kHz、長さ 2048、移動幅 512 のハンギング窓で求めた。提案手法として TSE と TSL の 2 種類を入力した結果と従来手法である CAR-GAN による結果を比較した。バッチサイズは 4 とし、200 エポックずつ学習を行なった。

4.2 実験結果

表 1 に生成画像と GT 画像において、画像群間の距離を表す FID と、画像間の距離を表す LPIPS の平均値による定量評価を示す。ただし、太字は最も精度が高い値を表している。FID については全ての楽器において、提案手法が従来手法の結果を上回った。また、提案手法の中でも TSE の方が良い結果となった。LPIPS については従来手法よりも高精度、もしくは同等の結果となった。これらから、メルスペクトログラム画像への時間情報ラベルの埋め込みと画像の複数枚同時生成によって、生成精度が上がったと考えられる。

次に、図 4 に Violin の定性評価を示す。提案手法において、TSE と TSL はどちらも GT 画像と同様に腕が下から上に動いていることがわかる。一方で、従来手法においては腕の部分がぼやけて

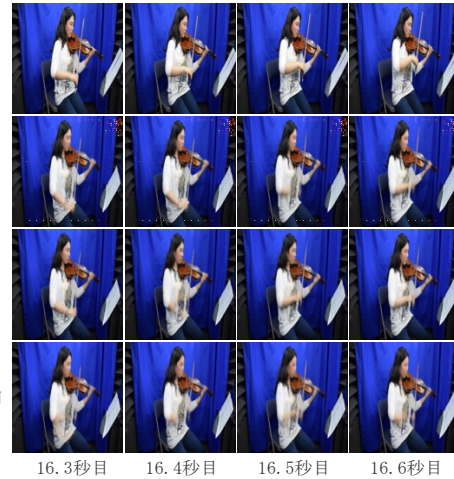


図 4 Violin の定性評価

いる画像が生成されており、時間経過に対して画像内の奏者の動きの変化が少ない。これらからも、提案手法の有効性を確認できる。

5. おわりに

本研究では楽器音のメルスペクトログラム画像から楽器演奏動画の生成するネットワークを提案した。実験結果より、メルスペクトログラム画像に時間情報ラベルを埋め込み、同時に複数枚の画像を生成することで、高精度な奏者の動きを生成することができた。今後は楽器以外のデータへの適用により、提案手法の妥当性のさらなる検証が課題として挙げられる。

参考文献

[1] B. Duan et al. “Cascade attention guided residue learning gan for cross-modal translation” In Proc. of ICPR, 2020
 [2] L. Chen et al. “Deep cross-modal audio-visual generation.” In Proc. of Thematic Workshops’ 17
 [3] W. Hao et al: “Cmcgan: A uniform framework for cross-modal visual-audio mutual generation”, In Proc. of AAAI, 2018